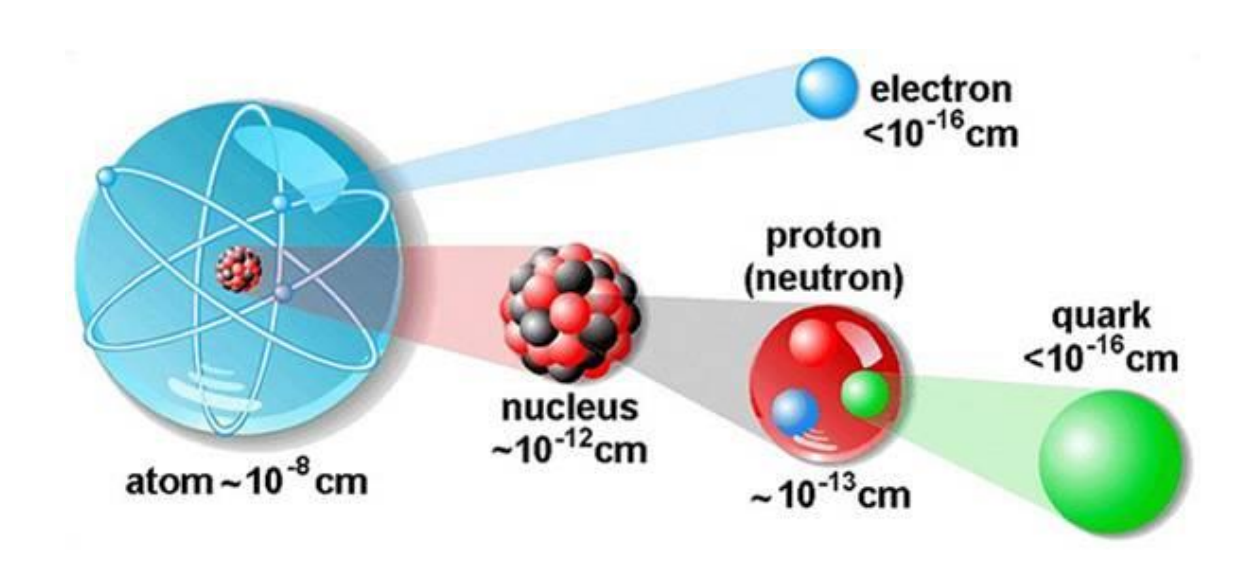
# RIVELATORI DI PARTICELLE ESPERIMENTO ATLAS



'Vediamo' le particelle studiando gli effetti che producono attraversando la materia.



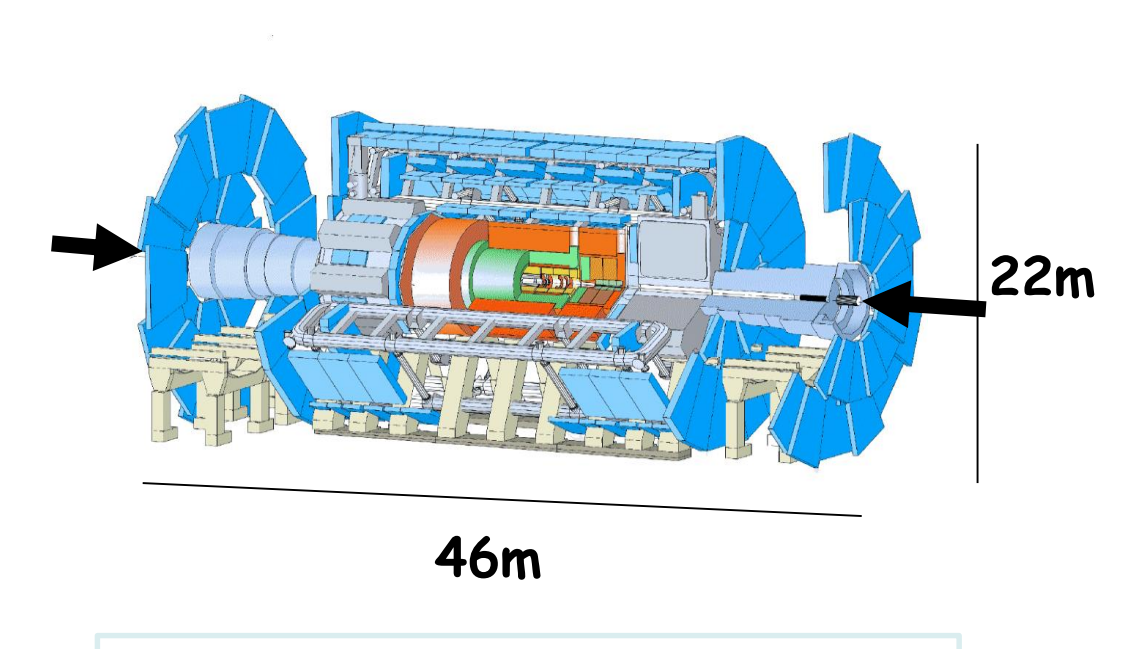
Una potenza pari a quella utilizzata da tutte le abitazioni del Cantone di Ginevra é necessaria per il funzionamento di LHC!!

LHC (27 Km circonferenza)

SPS (7 Km circonferenza)

### ATLAS

• I rivelatori sono posti uno dentro l'altro intorno al punto dove si scontrano i protoni. Sono rivelatori veloci e precisi,



Piano Trasverso

Peso 7000 ton Superficie rivelatori 6000 m<sup>2</sup>

# Cosa misurare per ogni particella ad LHC?(1)

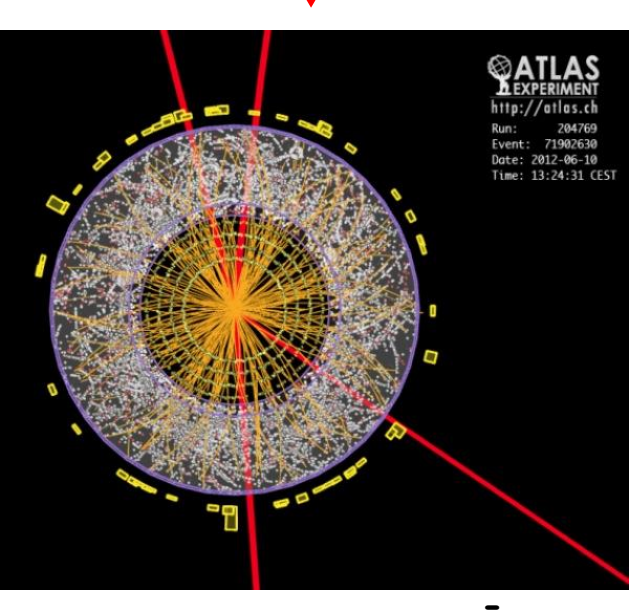
### Dai segnali nei rivelatori:



- ·Posizione
- ·Direzione del moto
- ·Carica
- ·Energia/impulso

Identificate le particelle e le loro caratteristiche ricostruiamo l' evento complessivo.





$$\mathrm{H} \to \mathrm{Z}\,\mathrm{Z}^* \to \mu^+\mu^-\mu^+\mu^-$$

Unità di misura dell' energia: elettronvolt (eV)

$$1 \text{ eV} = 1.6 \times 10^{-19} \text{ J}$$

$$1 \text{ KeV} = 10^3 \text{ eV} \quad 1000$$

$$1 \text{ MeV} = 10^6 \text{ eV}$$
 1 milione

$$1 \text{ GeV} = 10^9 \text{ eV}$$
 1 miliardo

$$1 \text{ TeV} = 10^{12} \text{ eV}$$
 1000 milardi

## Cosa misurare per ogni particella ad LHC? (2)

### MA: non tutte le particelle lasciano un segnale!

Vita media  $(\tau)$  = tempo medio che trascorre prima che del decadimento.

```
H (Higgs) \qquad \tau \approx 10^{-25} \, s
W \qquad \tau = 3 \cdot 10^{-25} \, s
\mu (muone) \qquad \tau = 2.2 \, 10^{-6} \, s
e (elettrone) \qquad stabile
```

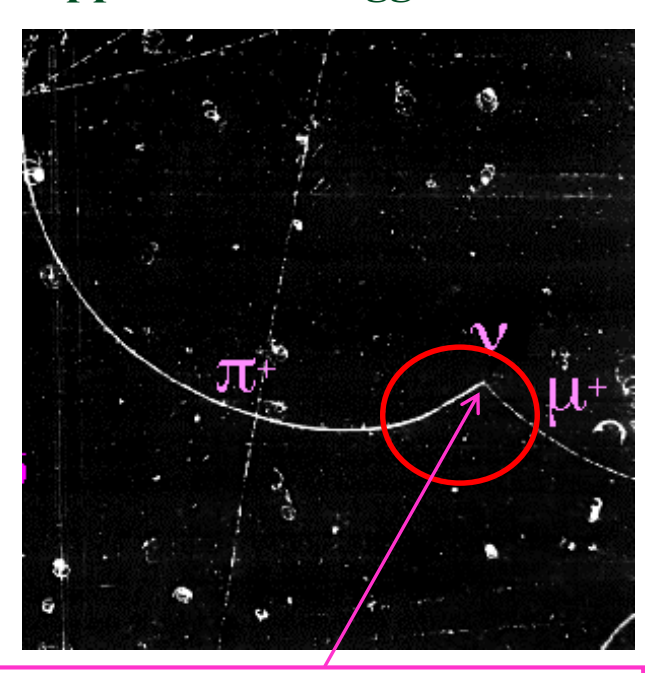
I muoni attraversano tutto l'apparato. H e W come la maggior parte delle particelle prodotte ad LHC non vivono abbastanza per raggiungere i rivelatori.

Queste particelle vengono individuate dai loro decadimenti.

## Cosa misurare per ogni particella ad LHC? (3)

### Anche i neutrini non lasciano un segnale!

I neutrini sono stabili ma interagiscono raramente. La loro presenza è individuata applicando la legge di conservazione dell' impulso.



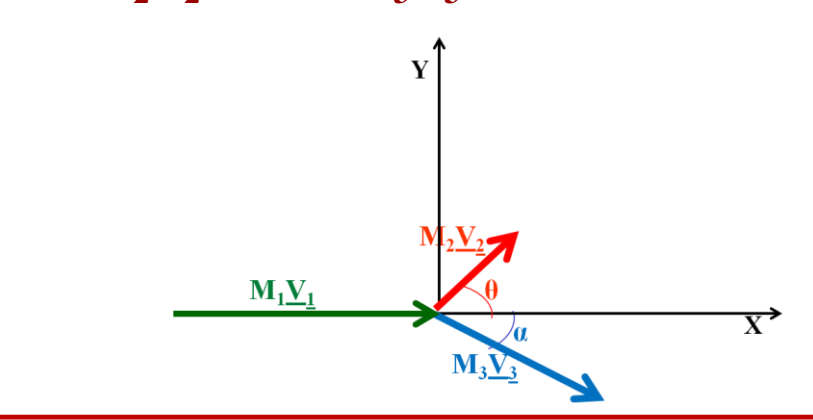
L' impulso mancante e' associato al neutrino.

### Impulso stato iniziale=Impulso stato finale

$$\bullet \mathbf{M}_{1} \underline{\mathbf{V}}_{1} = \mathbf{M}_{2} \underline{\mathbf{V}}_{2} + \mathbf{M}_{3} \underline{\mathbf{V}}_{3}$$
  

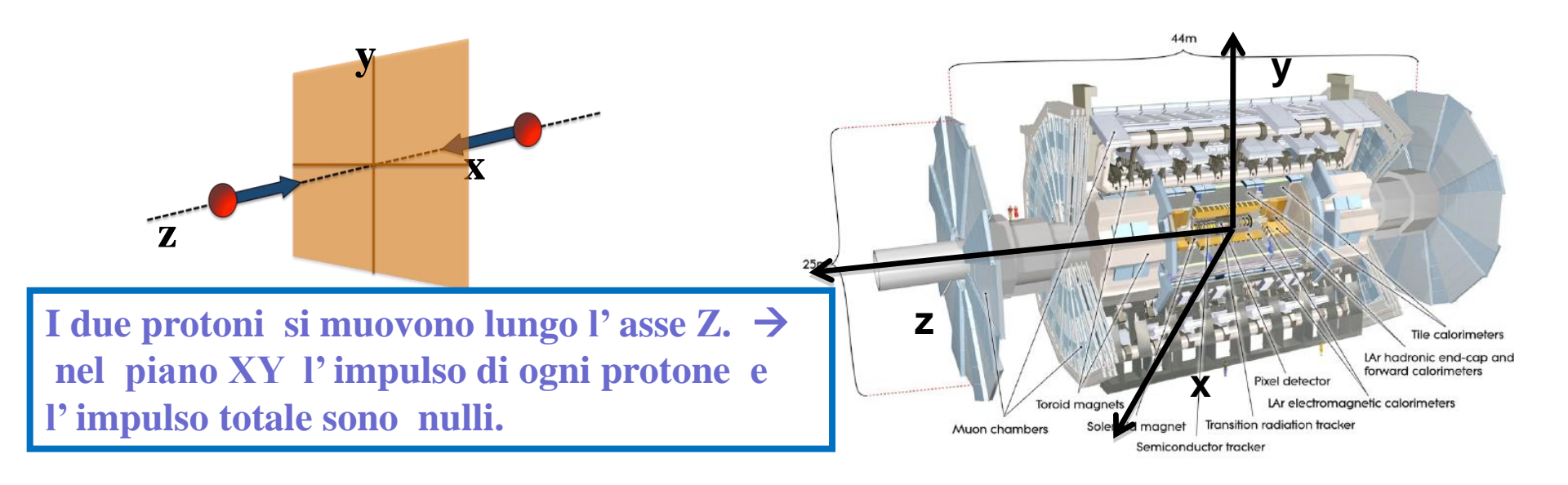
$$\bullet \mathbf{M}_{1} \mathbf{V}_{1} = \mathbf{M}_{2} \mathbf{V}_{2} \cos \theta + \mathbf{M}_{3} \mathbf{V}_{3} \cos \alpha \quad (asse X)$$

•0 =  $M_2V_2 \sin\theta$  -  $M_3V_3 \sin\alpha$  (asse Y)



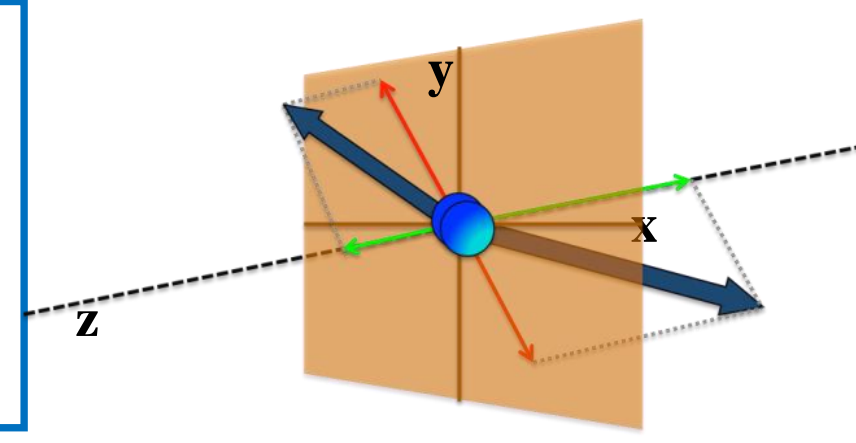
Un alto valore di Impulso/Energia mancanti e' il primo criterio per selezionare gli eventi :  $W \rightarrow e/\mu + v$ 

### Piano Trasverso(1)

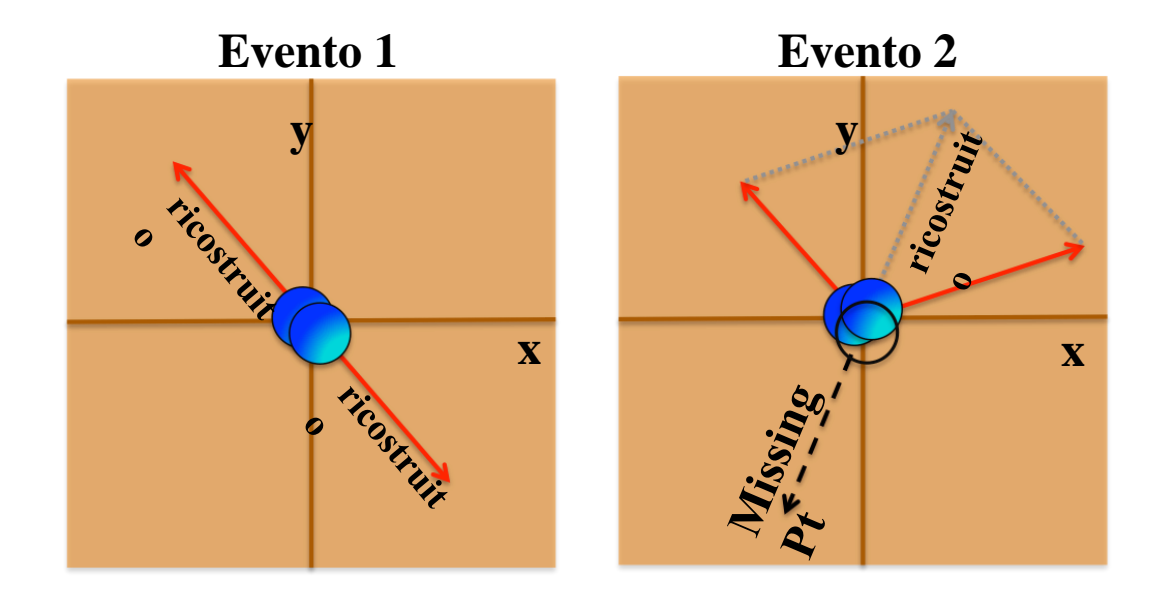


In urto l'impulso totale e' lo stesso prima e dopo la collisione.

Nel piano trasverso (XY) le particelle avranno impulso totale =0. Se sono 2 (linea rossa) si muoveranno nella stessa direzione ed in verso opposto.



### Rivelazione dei neutrini



Nell' evento 2 l' impulso trasverso mancante (MPT), come l' energia trasversa mancante (MET), possono essere dovuti alla produzione di neutrini.

Nell' analisi dei dati un alto valore di MET e' uno dei criteri di selezione per individuare eventi prodotti dal decadimento di W ( $W \rightarrow e/\mu + v$ )

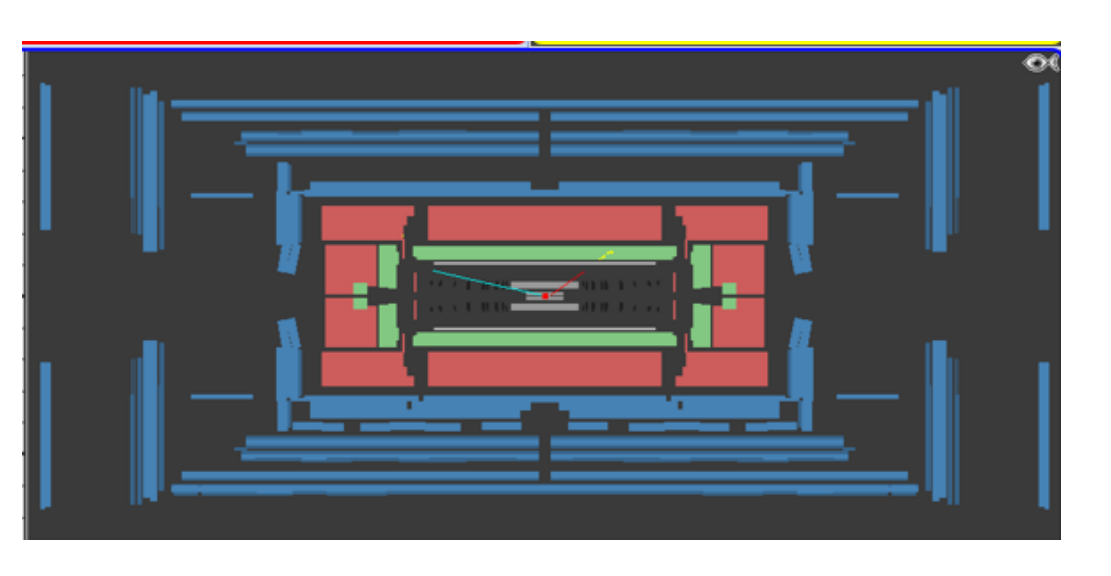
### I Rivelatori in ATLAS

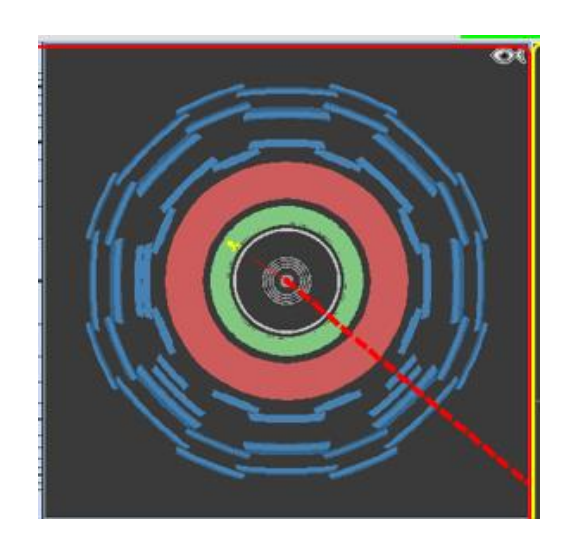
In ATLAS abbiamo 2 tipi di rivelatori:

· TRACCIATORI

· CALORIMETRI

### ATLAS (2)





### A partire dallo strato piu' interno troviamo in successione:

Inner Detector (Tracciatore) → Ricostruzione tracce – Misura l'impulso e carica

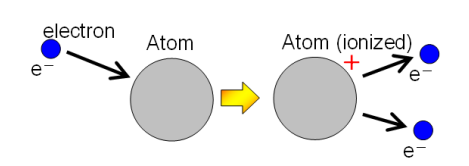
**Calorimetro Elettromagnetico** → **Misura Energia** 

Calorimetro Adronico → Misura Energia

**Camere mu** (**Tracciatore**) → **Ricostruzione tracce** - **Misura l'impulso e carica** 

### Tracciatori (1)

Il principio di funzionamento dei tracciatori è basato sulla ionizzazione: quando una particella <u>carica</u> passa nel tracciatore (gas o semiconduttore)cede energia agli atomi che espellono uno o piu' elettroni. Gli elettroni vengono raccolti e producono un segnale elettrico. La perdita di energia della particella e' trascurabile.



Un tracciatore e' costituito da tanti 'elementi' che si 'accendono' al passaggio di una particella carica.

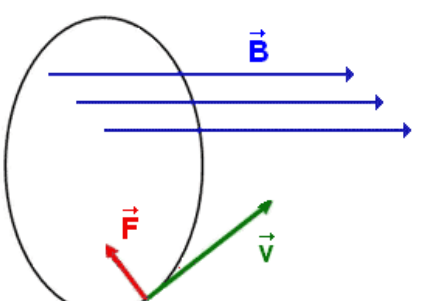




- Ricostruzione del percorso della particella carica
- Identificazione del punto di produzione (vertice)

### Tracciatori (2)

Se un tracciatore e' posto in un campo magnetico (B) si determina l' impulso (mv) dalla traccia e la sua carica



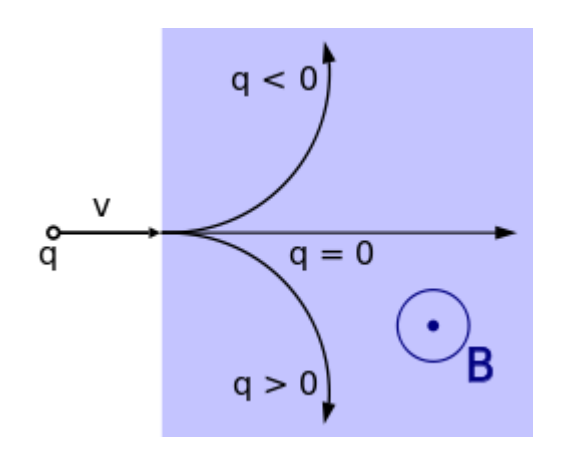
$$\mathbf{F} = \mathbf{q} \, \mathbf{v} \, \mathbf{x} \, \mathbf{B}$$

perpendicolare a <u>v</u> e <u>B</u>



Il raggio è proporzionale all' impulso

$$r = \frac{mv}{qB}$$



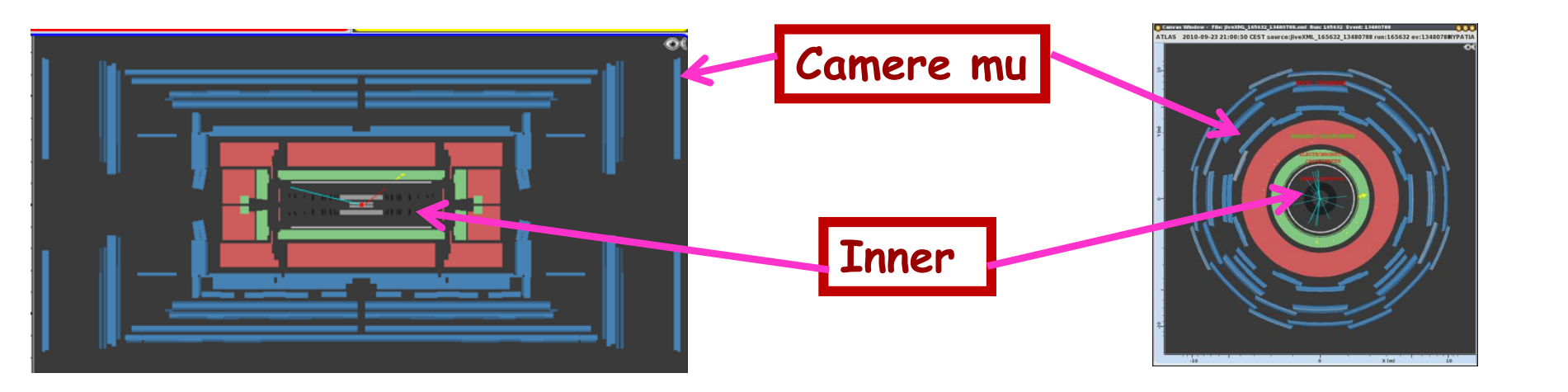


Possiamo conoscere il segno della carica

### I Tracciatori di ATLAS

### Due sistemi di tracciatori in ATLAS:

- Inner Detector
- Spettrometro per muoni Entrambi in campo Magnetico



### **Inner Detector**

E' il rivelatore piu' interno, ossia il piu' vicino alla zona di interazione.

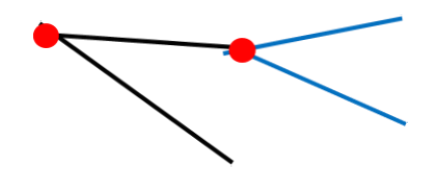
Nell' Inner Detector dobbiamo ricostruire con precisione tracce e vertici dove la densità delle particelle e' maggiore

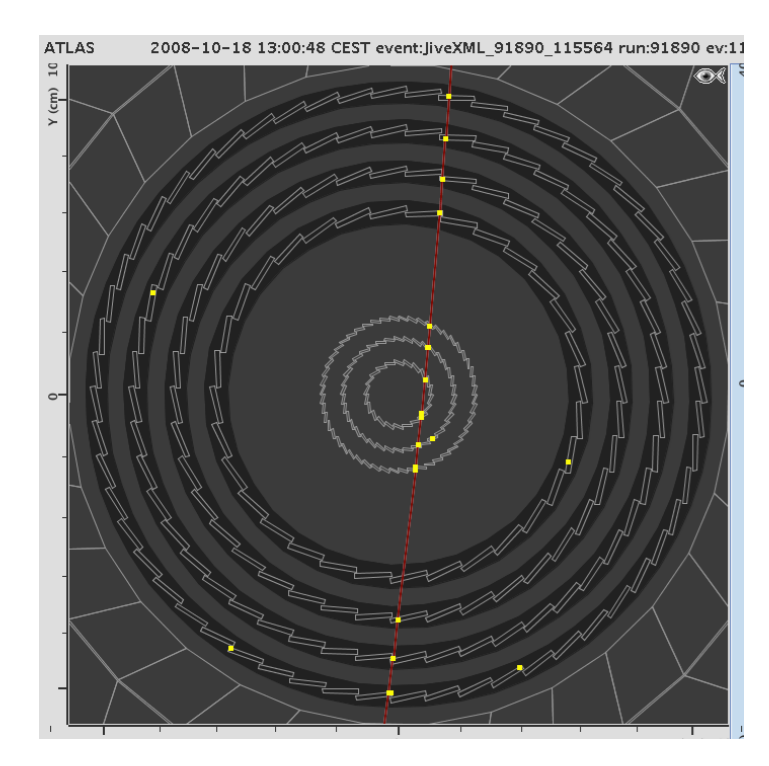


### **Inner Detector**

La ionizzazione genera un piccolo segnale in corrente che viene raccolto da elettrodi . E' così possibile ricostruire un 'punto', HIT, sul piano del rivelatore.

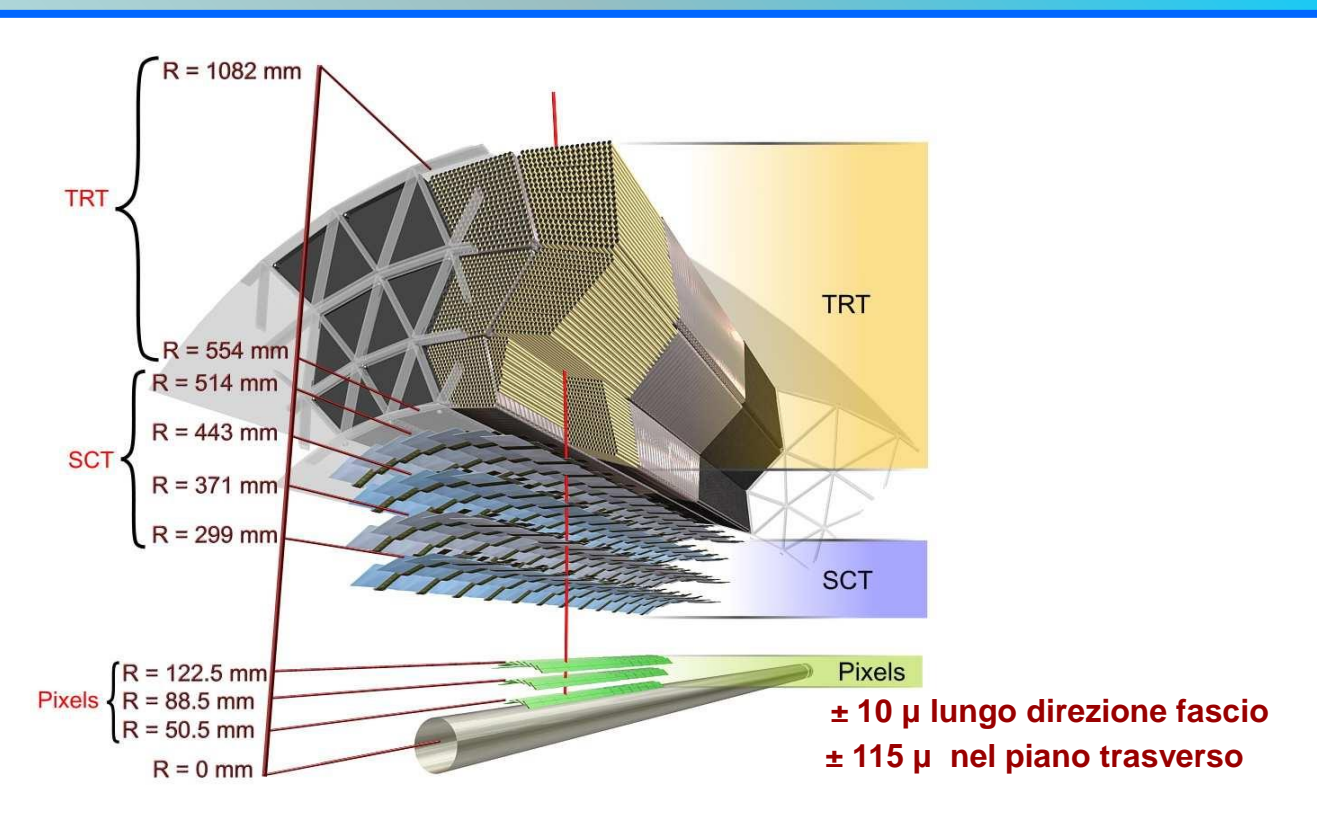
Da un insieme di <u>HITS</u> allineati su una traiettoria ricostruiamo la <u>TRACCIA</u>, ossia la traiettoria della particella <u>carica</u> ed il <u>VERTICE</u> dell' interazione





Traccia di un raggio cosmico ricostruita nell' Inner Detector

### **Inner Detector**



### 3 diverse tecnologie:

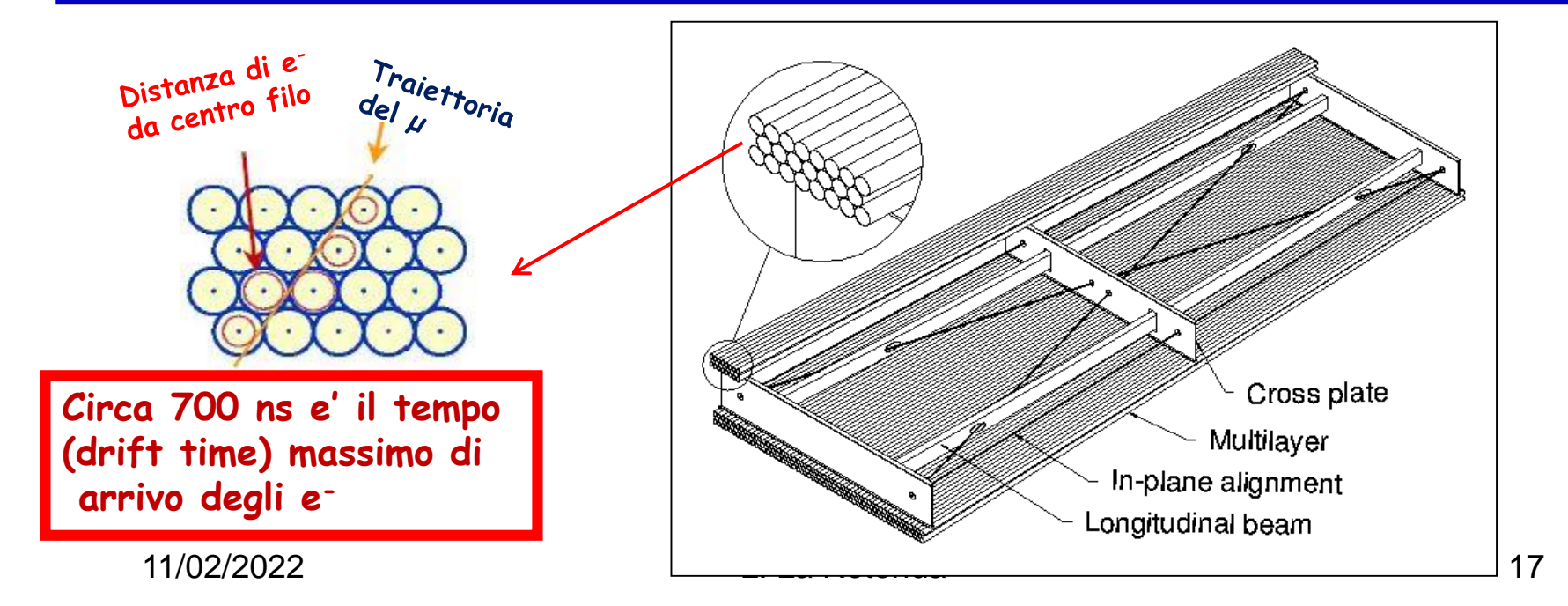
Pixels e il SiliCon Tracker (SCT) per ricostruire impulso e traiettoria delle particelle cariche. Transition Radiation Tracker (TRT) da' anche informazioni sul tipo di particella.

## Spettrometro per muoni (1)

E' il rivelatore piu' esterno. Strati di Camere MDT (Monitored Drift Chambers) & Camere CSC (Cathode Strip Chambers) sono usate per misurare l' impulso dei  $\mu$  dalla curvatura delle tracce

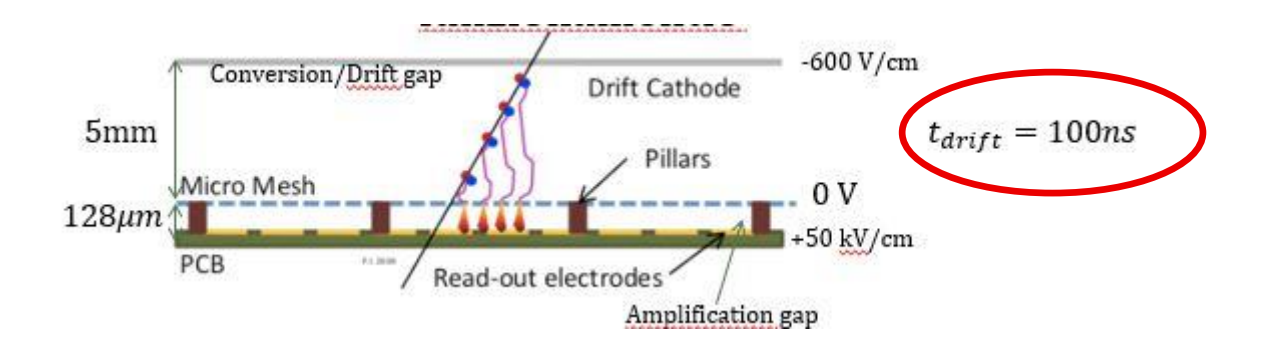
Le camere MDT contegno tubi di Al riempiti di gas. Il muone ionizza il gas, gli e prodotti sono raccolti sul filo conduttore posizionato al centro del tubo.

Dal tempo di arrivo degli e- si determina la traiettoria del muone.

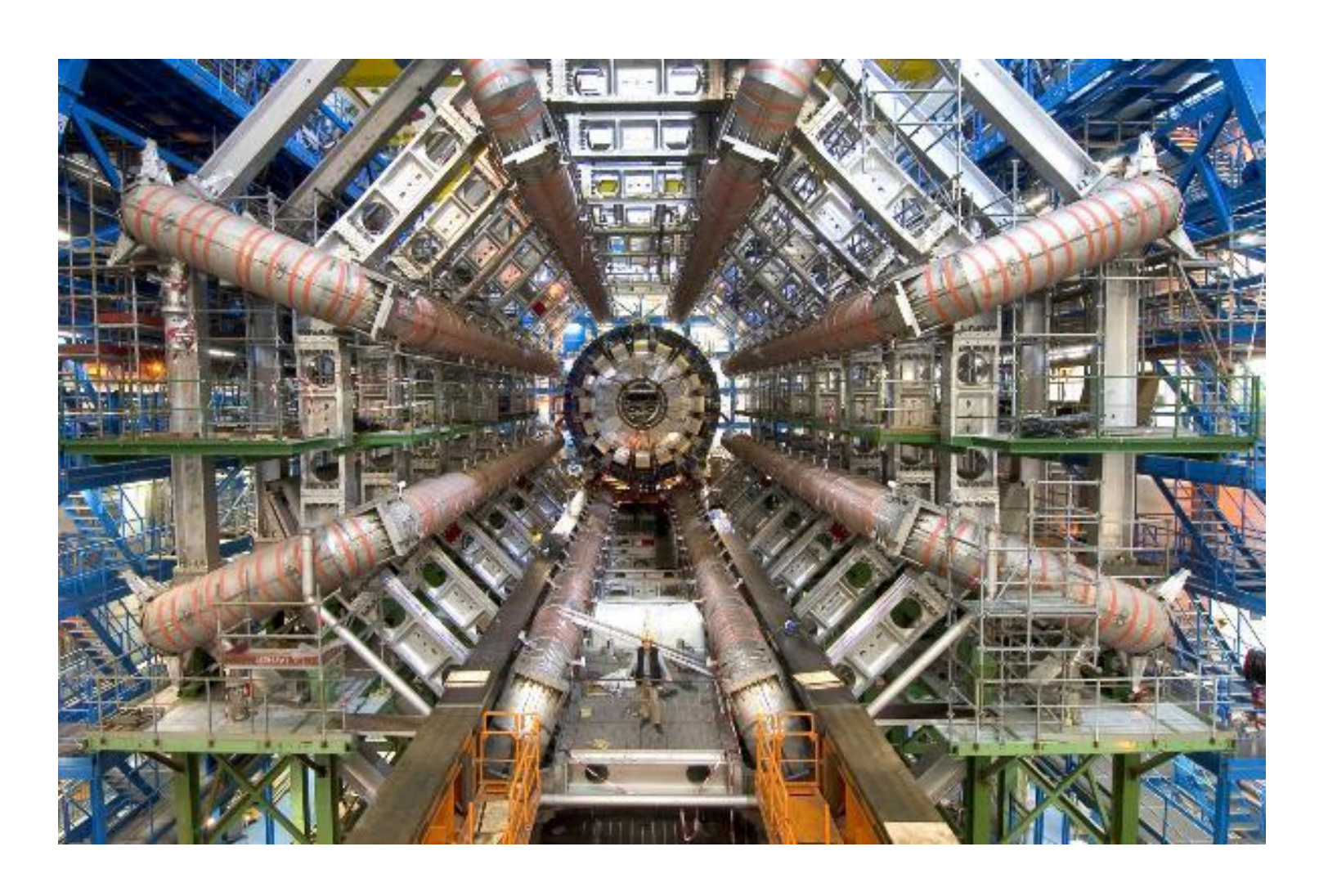


# Spettrometro per muoni (2)

# Attualmente in alcune zone dello spettrometro delle nuove camere le MicroMegas sostituiscono il I strato delle MDT

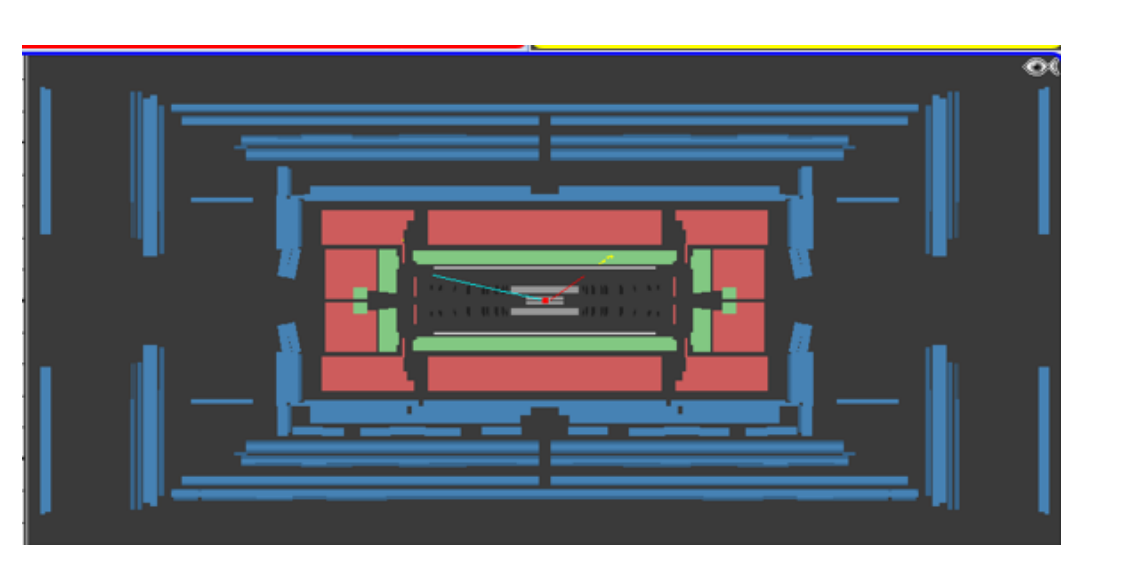


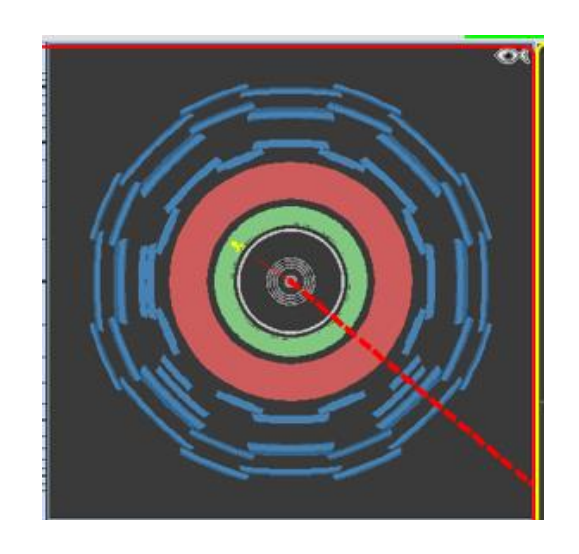
# Spettrometro per muoni (3)



### Calorimetri

### Misurano l'energia delle particelle sia cariche che neutre





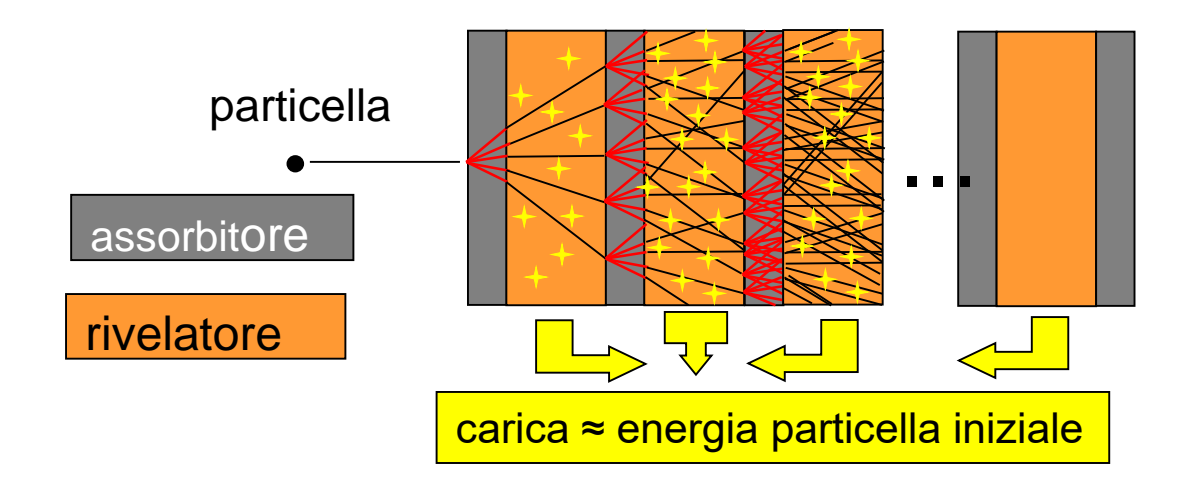
**Calorimetro Elettromagnetico** 

Calorimetro Adronico

### Calorimetri – Misura dell' ENERGIA

Strati di materiale denso (assorbitore) alternati a strati di rivelatore.

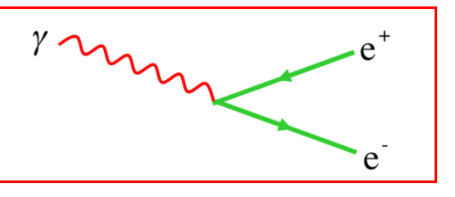
Nell' assorbitore si sviluppa lo sciame → le particelle perdono energia fin quando sono totalmente assorbite. Misura DISTRUTTIVA



- Calorimetri Elettromagnetici (rivelazione di e<sup>-</sup>, e<sup>+</sup>, γ)
- Calorimetri Adronici (rivelazione di adroni carichi e neutri: p,n,π,K)

## Lo sciame elettromagnetico

Un γ di alta energia interagisce nel mezzo e produce una coppia e<sup>+</sup> e<sup>-</sup> ad energia inferiore.

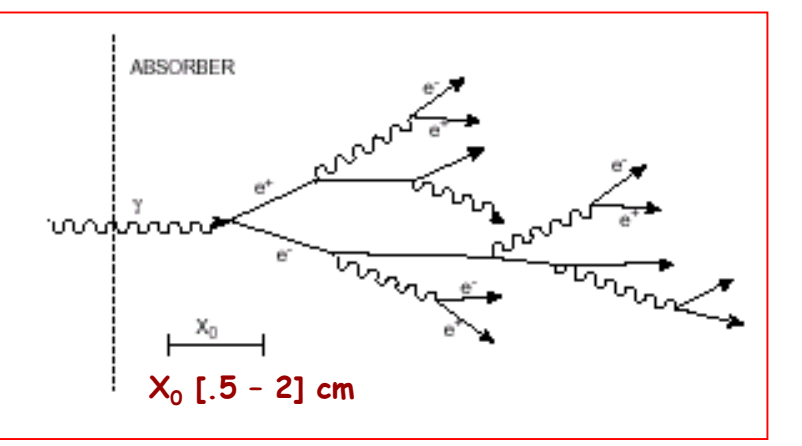


Gli elettroni e positroni perdono energia emettendo γ (bremsstrahlung)



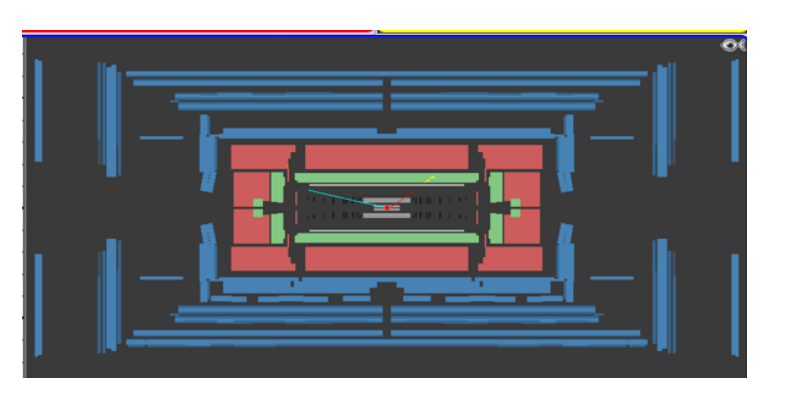
L' insieme di questi processi da luogo alla formazione dello sciame.

Ad energia di qualche MeV il processo si interrompe. Subentrano altre interazioni che portano al rapido assorbimento della particella nel calorimetro.



μ ed adroni perdono solo una frazione di energia nei calorimetri em

## I Calorimetri elettromagnetici di ATLAS



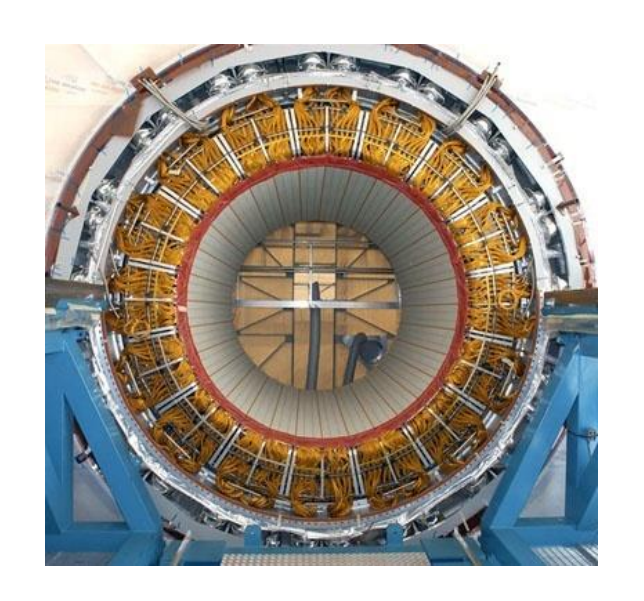
#### In ATLAS 3 calorimetri elettromagnetici

- 1 nella zona centrale (barrel)
- 2 nelle le regioni in avanti (end-cap) misurano l' energia di γ ed elettroni prodotti ad un angolo tra 28.3° e 4.7° rispetto ai fasci

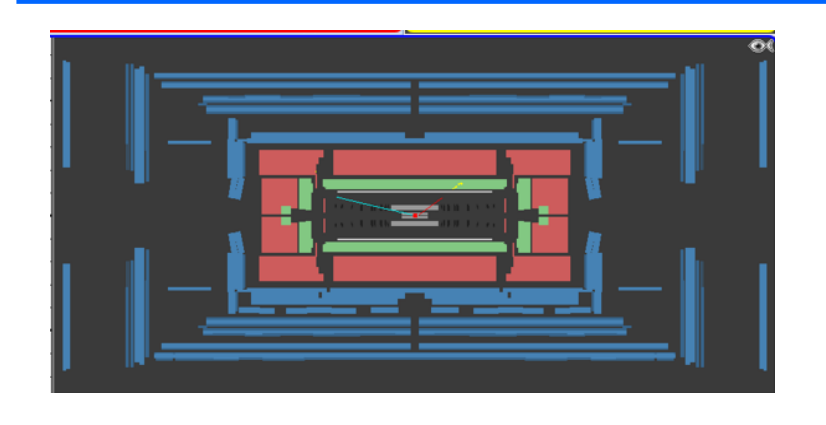
### Costituiti da strutture in Pb immerso in Ar liquido a 90 K

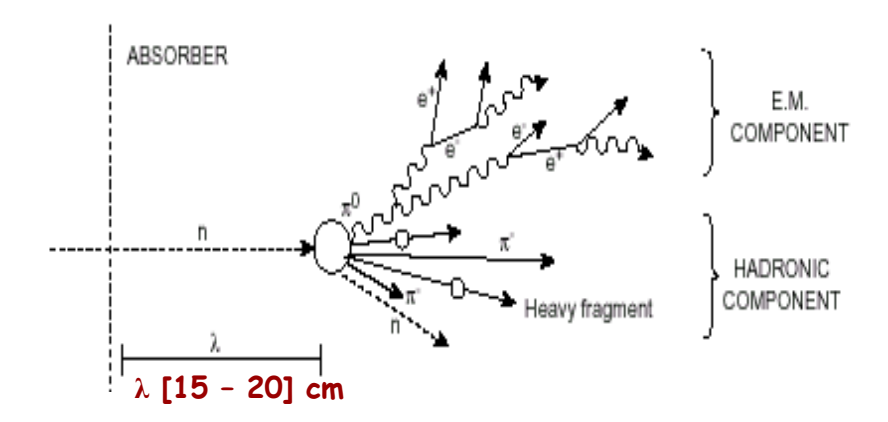
Lo sciame si sviluppa nel piombo.

Il segnale, in corrente, e' dato dagli elettroni prodotti per ionizzazione nell'Ar dalle particelle dello sciame.



### I Calorimetri adronici di ATLAS

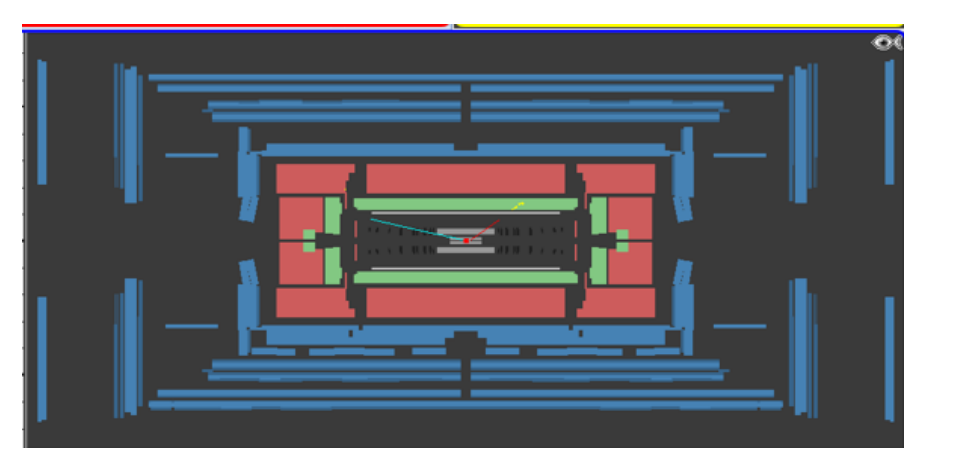


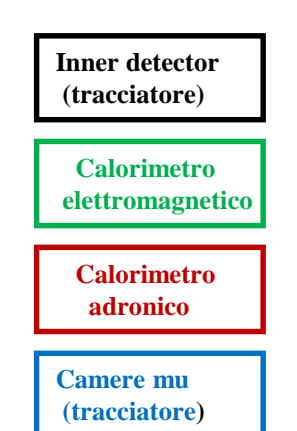


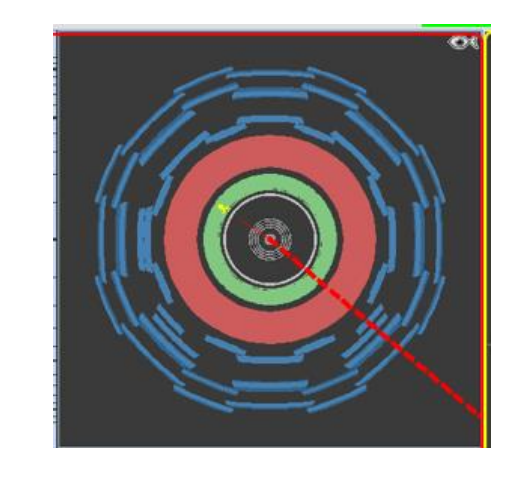
#### In ATLAS 3 calorimetri adronici

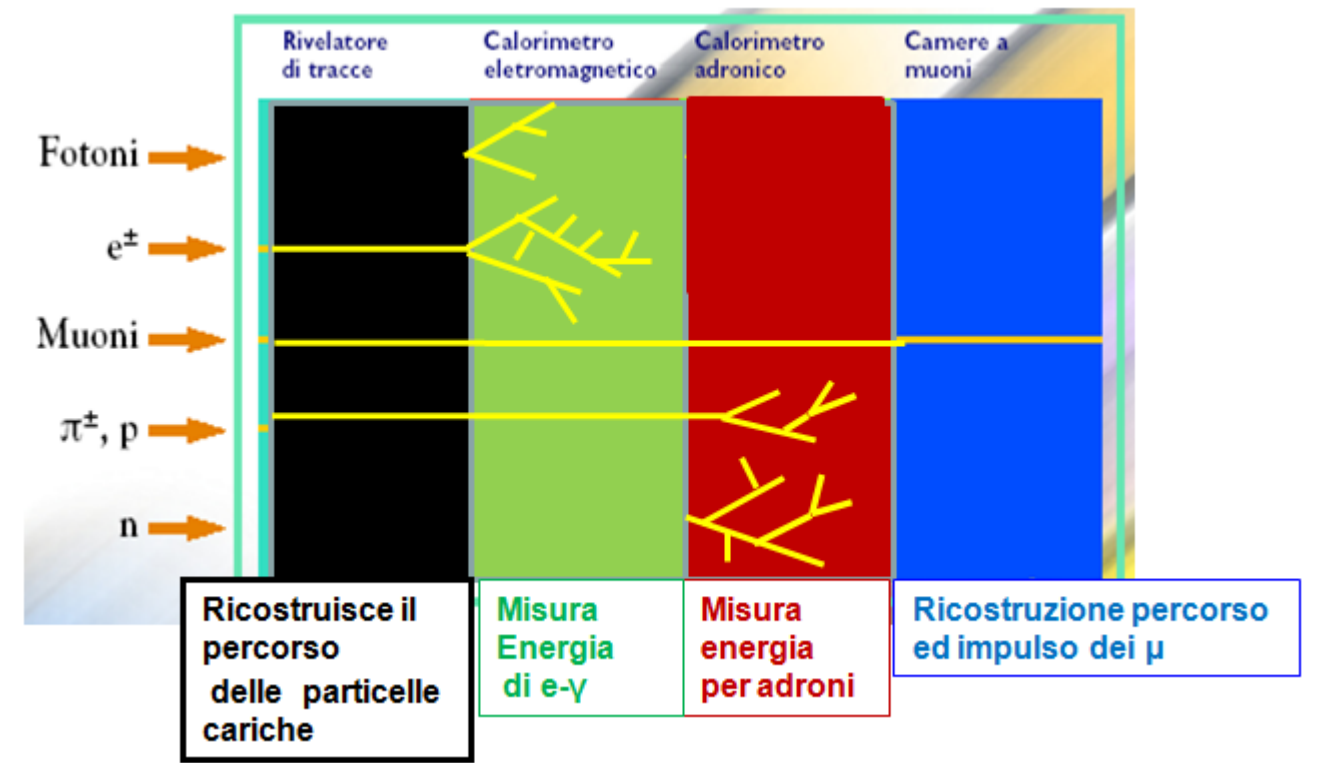
- 1 nella zona centrale (barrel) Fe + Scintillatore
- 2 nelle regioni in avanti (end-cap) Cu + Ar

Misurano l'energia di protoni, neutroni, pioni. I µ perdono solo una frazione di energia nei calorimetri adronici.









# ANIMAZIONE

26

## Selezione degli eventi (1)

### Eventi di segnale

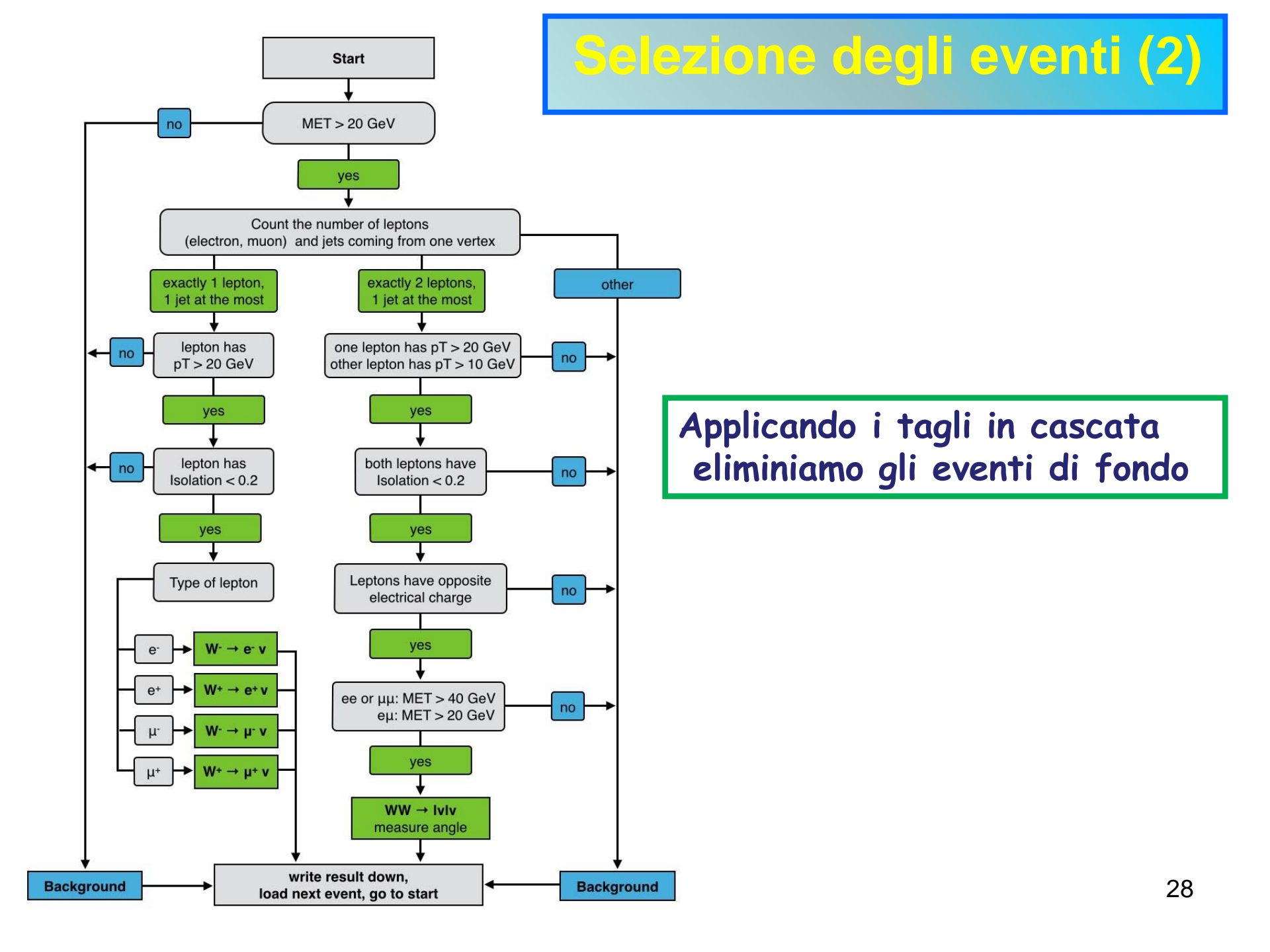
$$W^{+} \rightarrow e^{+} + v$$
  $W^{+} \rightarrow \mu^{+} + v$   
 $W^{-} \rightarrow e^{-} + v$   $W^{+} \rightarrow \mu^{-} + v$   
 $H \rightarrow W^{+} + W^{-}$ 

### Eventi di fondo

Tutti quelli in cui sono presenti leptoni nello stato finale generati da altri processi

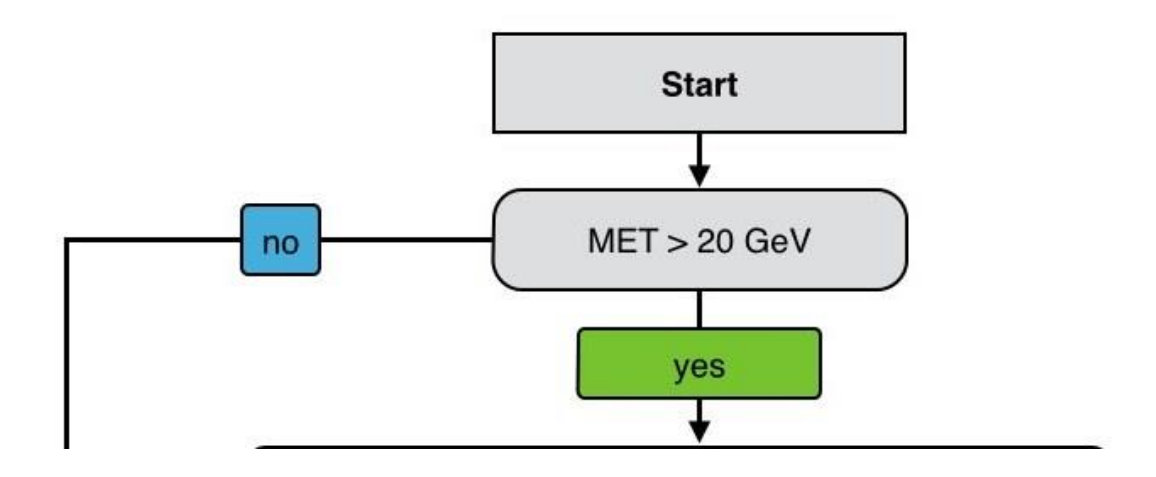
$$Z^0 \rightarrow e^+ + e^- \quad Z^0 \rightarrow \mu^+ + \mu^-$$

I dati di segnale sono estratti dal campione di eventi noti gli stati finali e le distribuzioni cinematiche (impulsi,angoli fra le particelle, etc.)

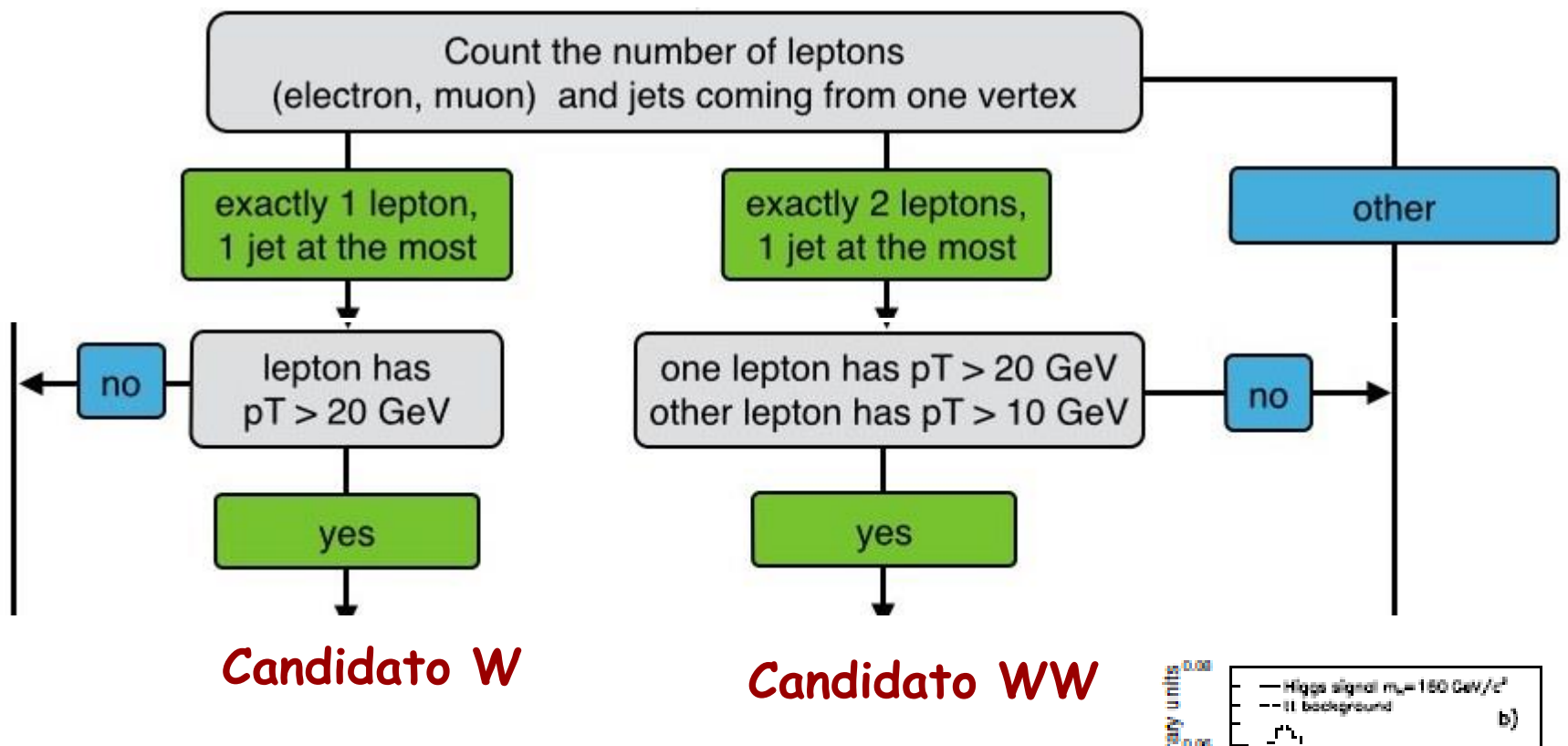


## Selezione degli eventi (3)

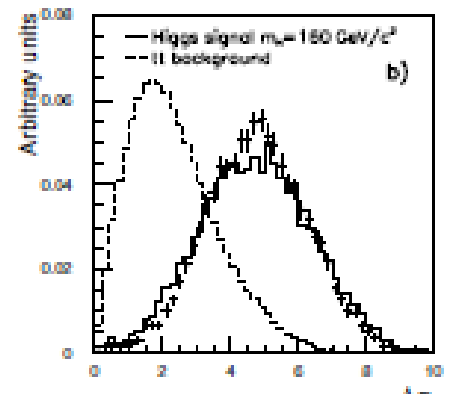
Ricostruzione impulso nel piano trasverso del candidato W
 Agli eventi di segnale corrispondono alti valori di impulso
 ed energia trasversa (MET) mancanti a causa del
 neutrino non ricostruito



## Selezione degli eventi (4)

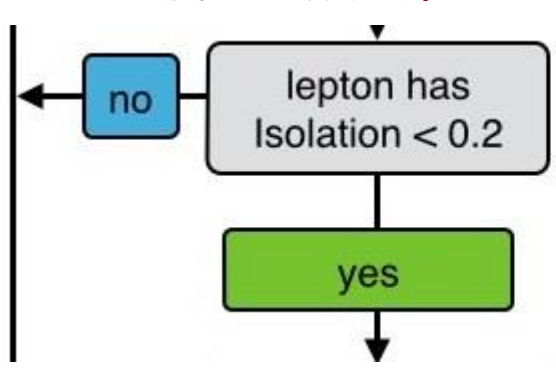


Rigettiamo la maggior parte degli eventi di fondo (caratterizzati da basso Pt). Perdiamo pochi eventi di segnale.

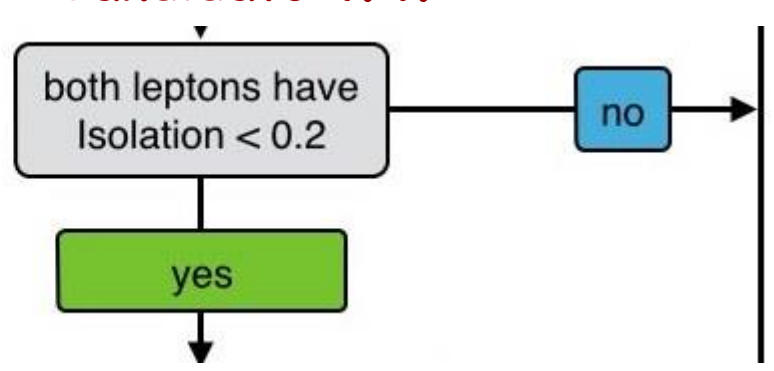


## Selezione degli eventi (5)

### Candidato W



### Candidato WW

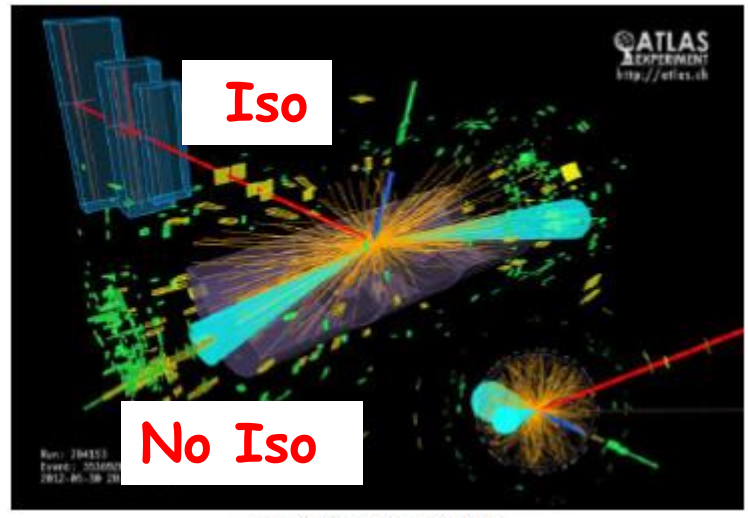


Il leptone non deve far parte del Jet ma deve essere prodotto da W

E = energia rilasciata dalle particelle <u>intorno</u> la particella candidata (leptone in questa analisi )

 $E_L$  = energia del candidato leptone

 $Isolamento = E / E_{L}$ 



http://i.stack.imgur.com/HUz5T.png

## Selezione degli eventi (6)

